

Fig. 1

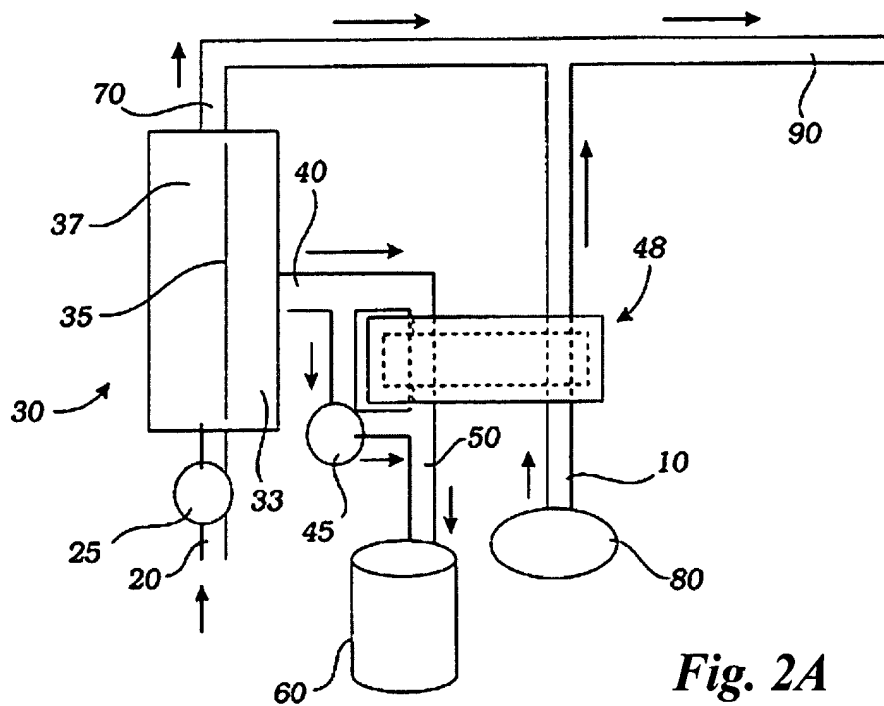


Fig. 2A

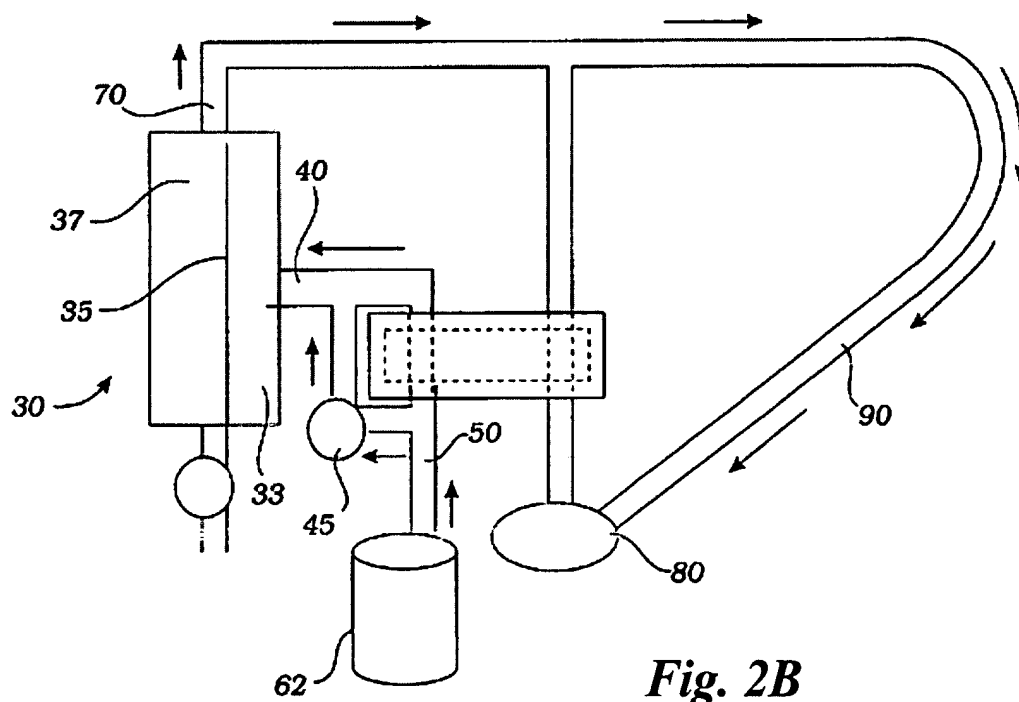


Fig. 2B

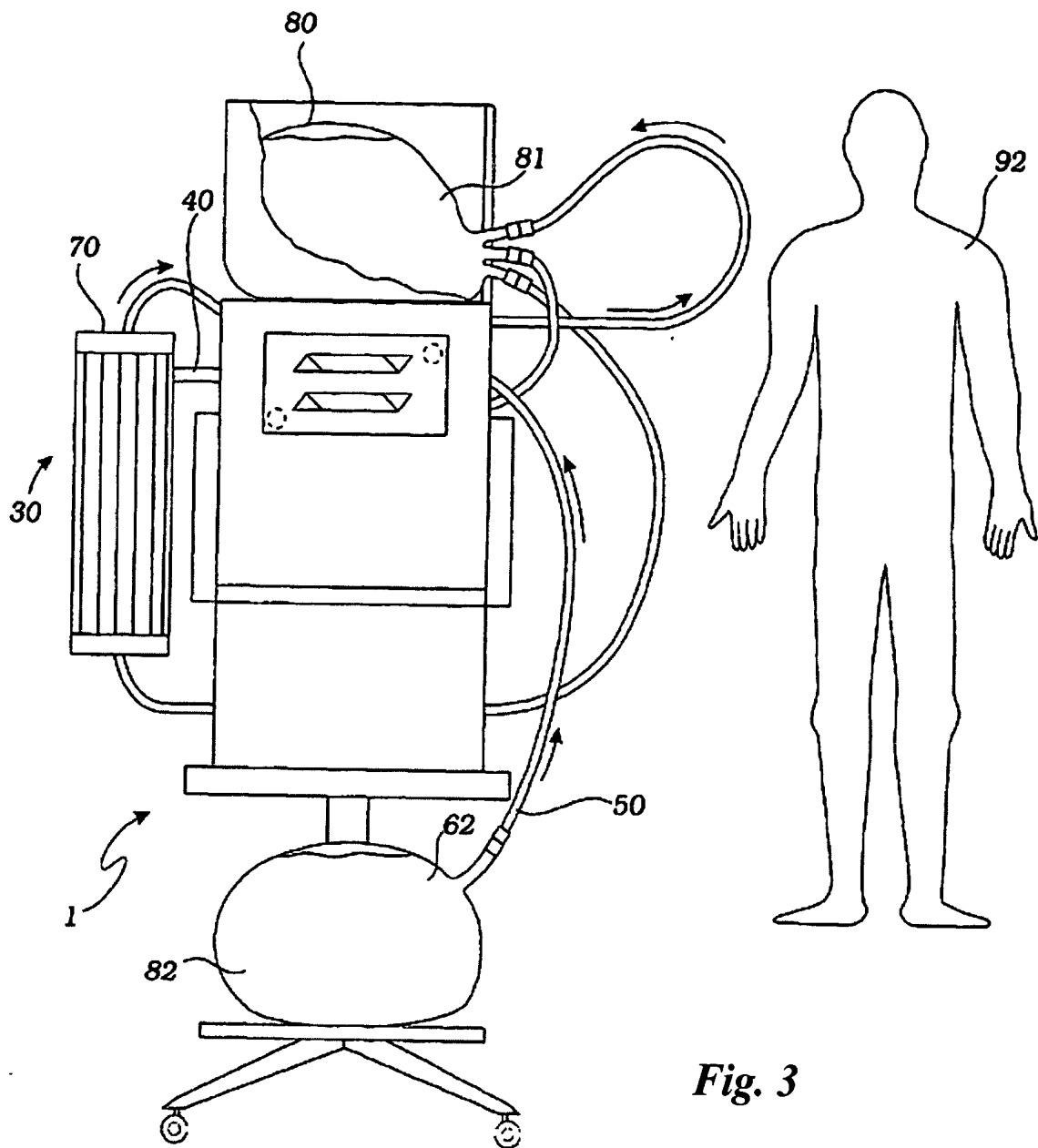


Fig. 3

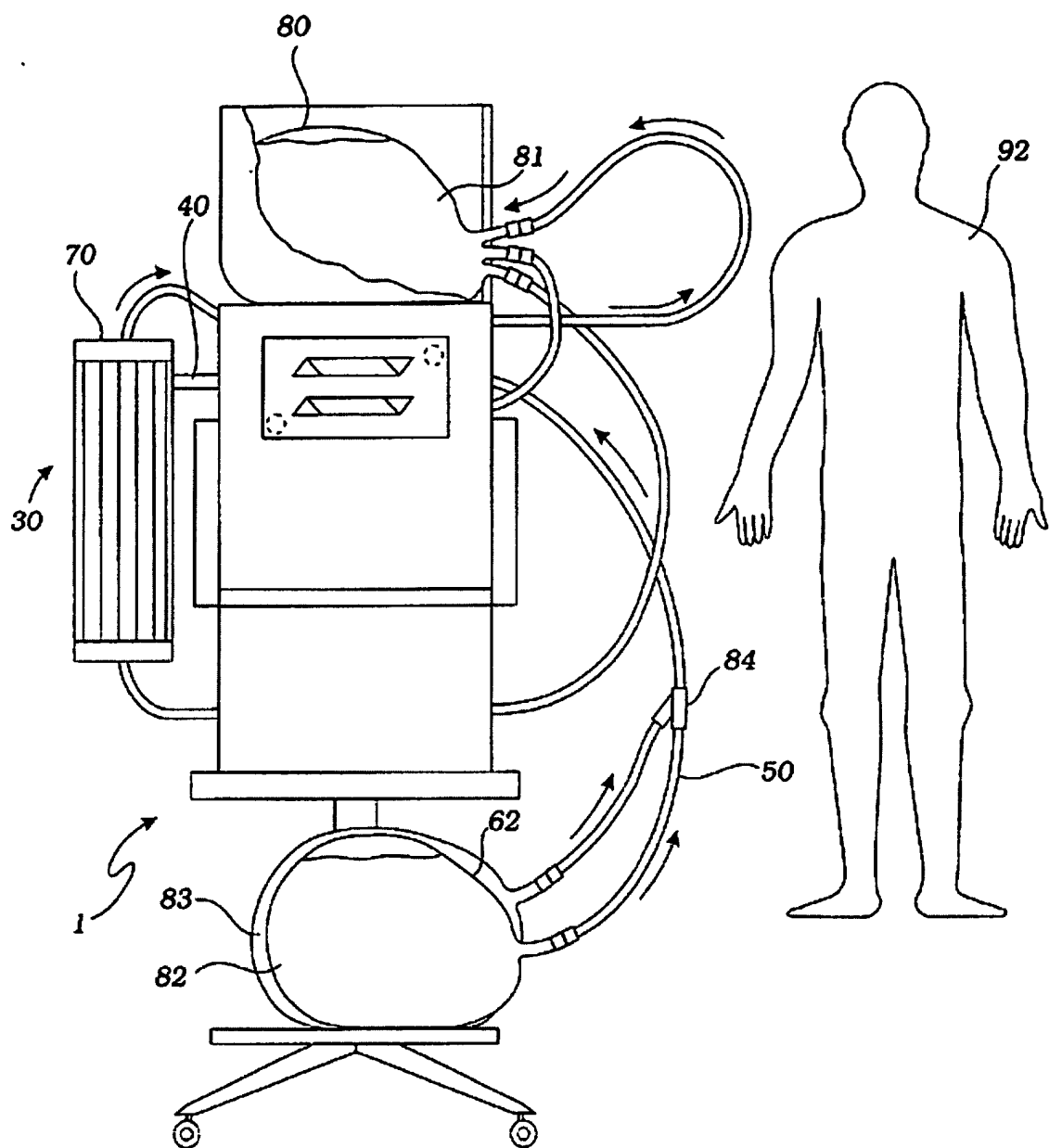


Fig. 3A

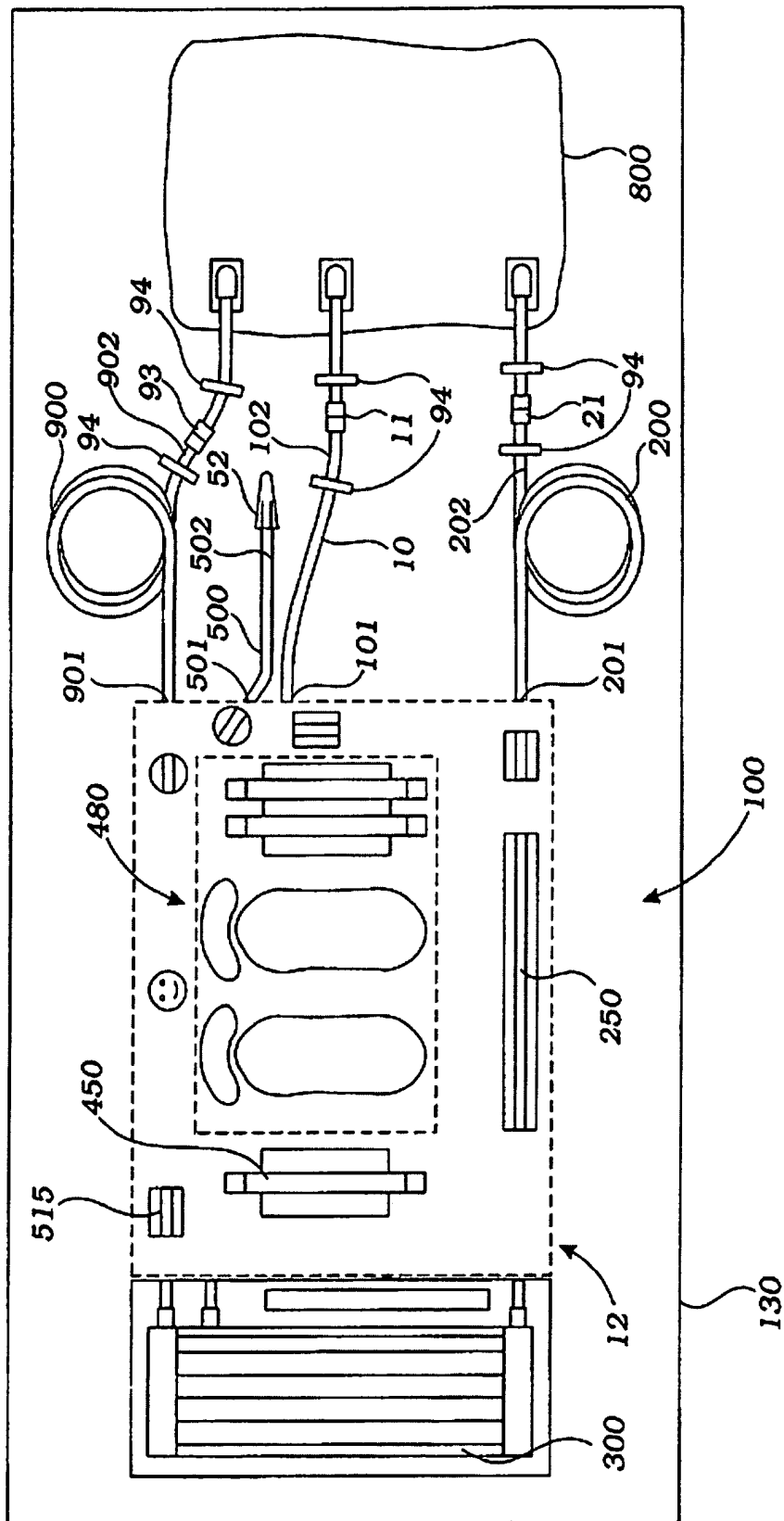


Fig. 4

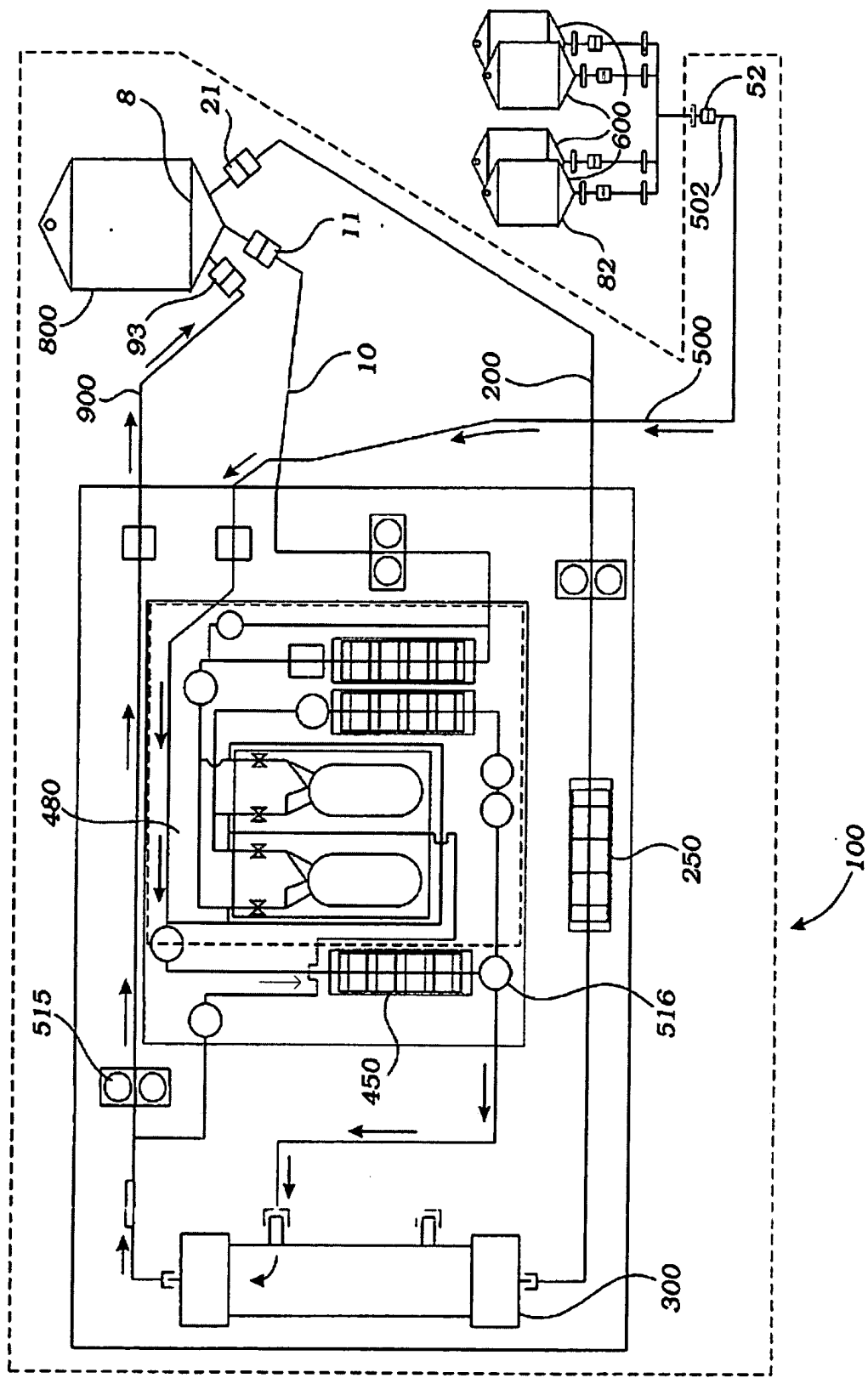


Fig. 5

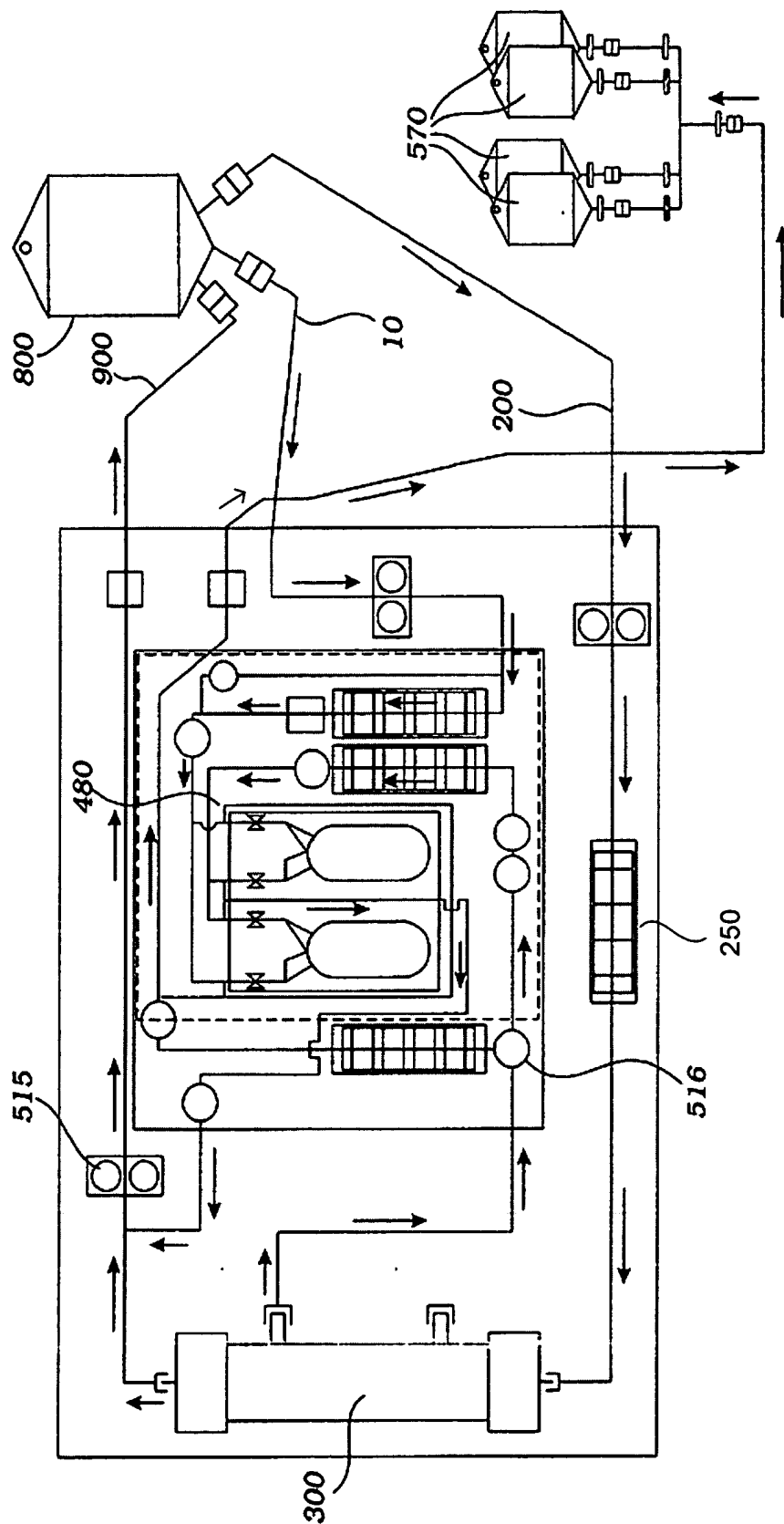


Fig. 6

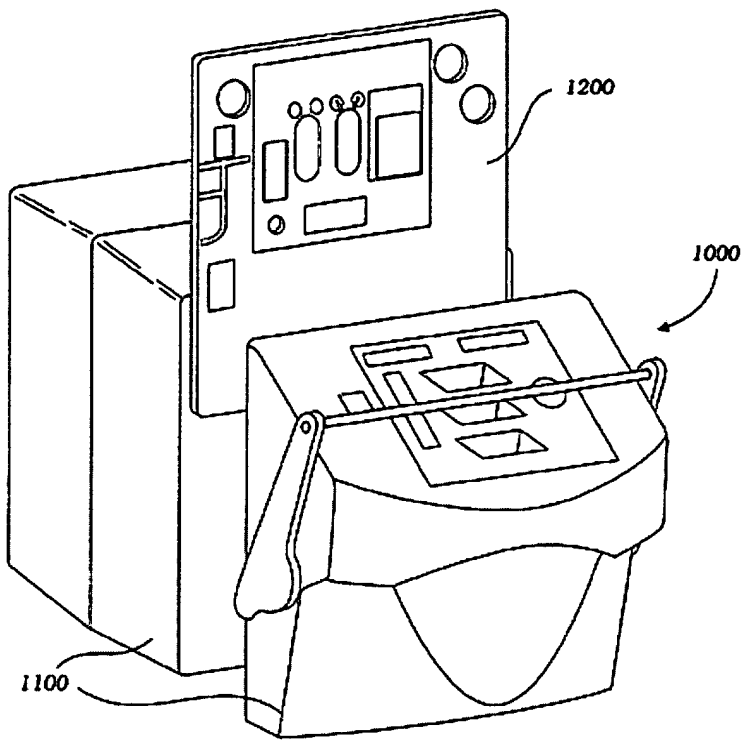


Fig. 7A

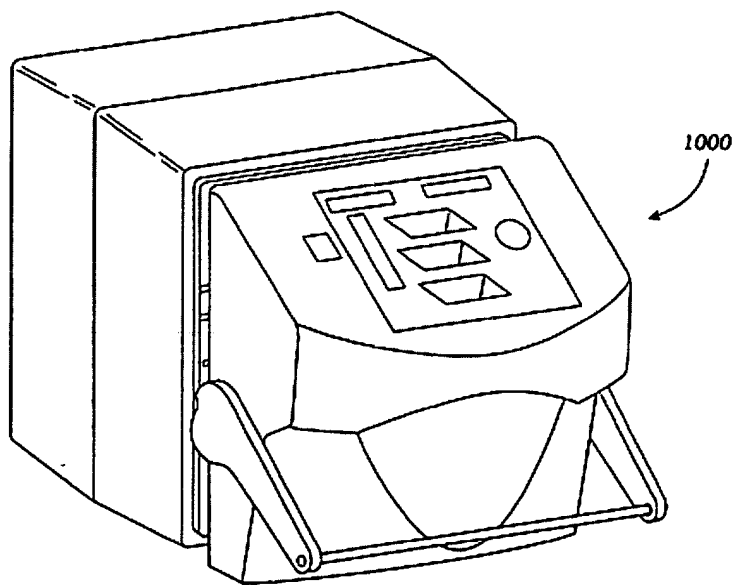
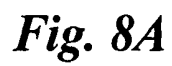


Fig. 7B



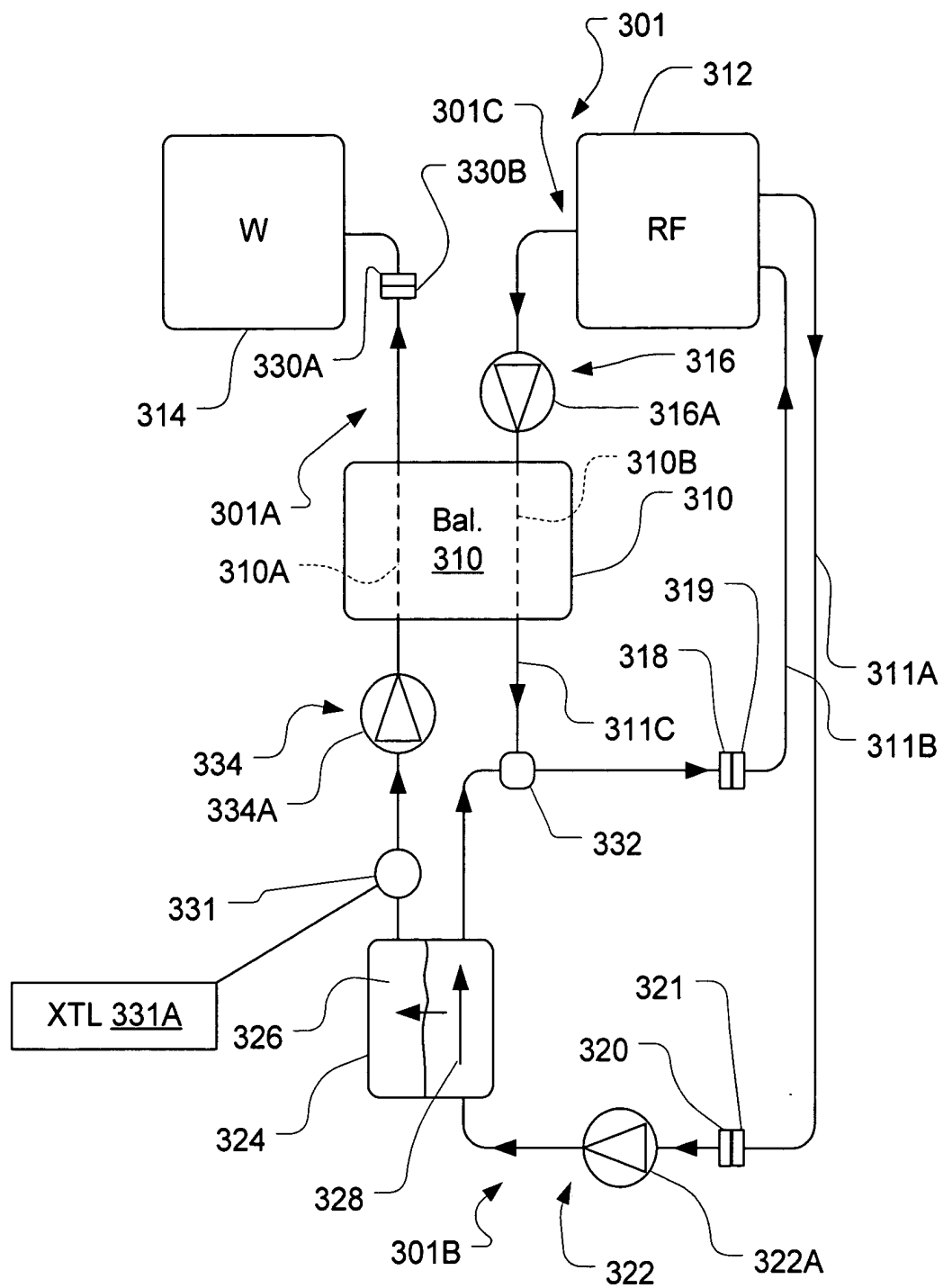


Fig. 8B

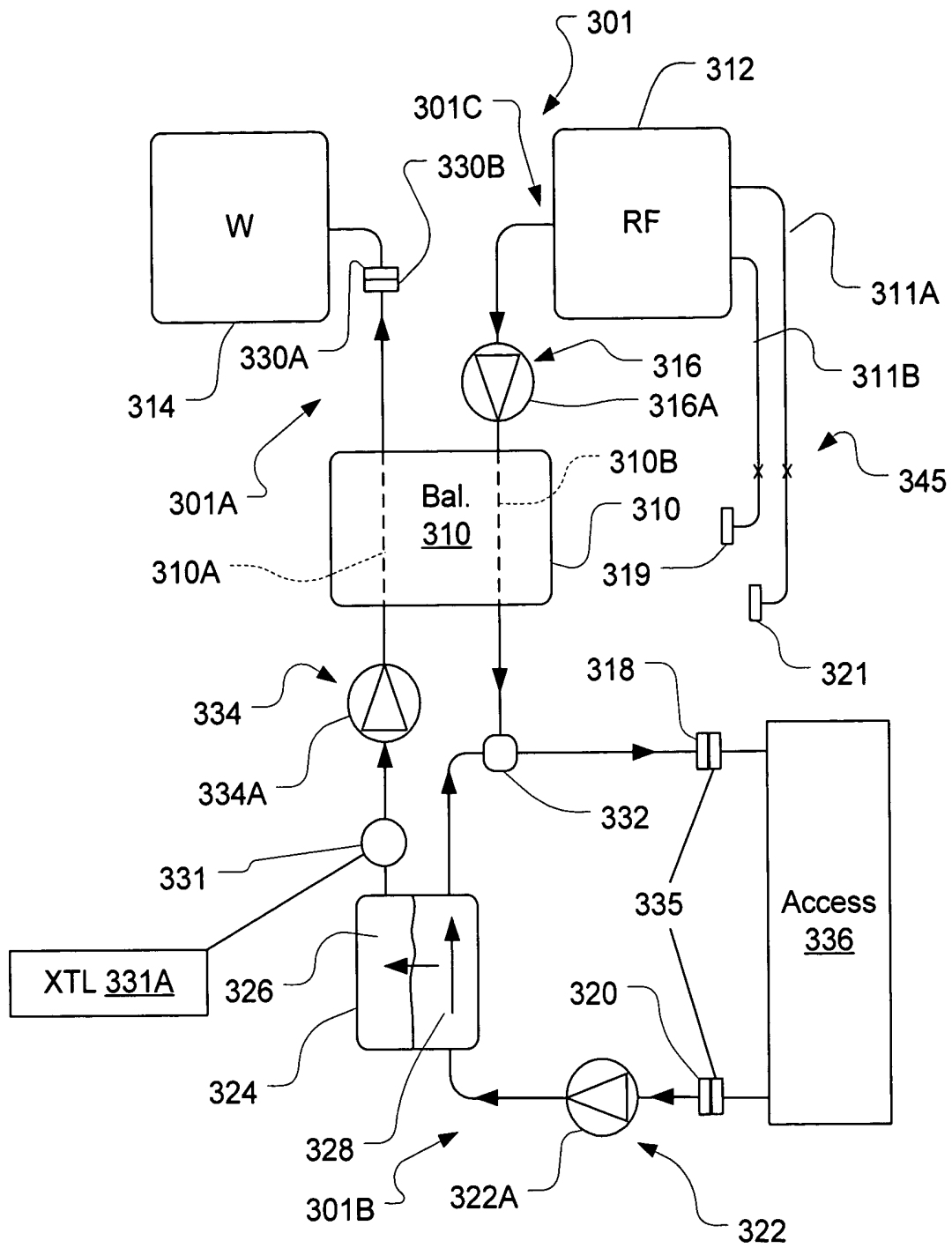
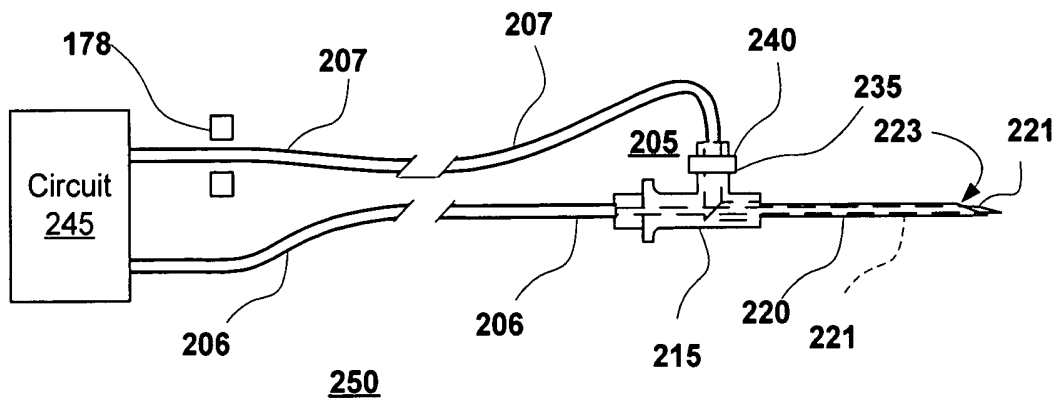
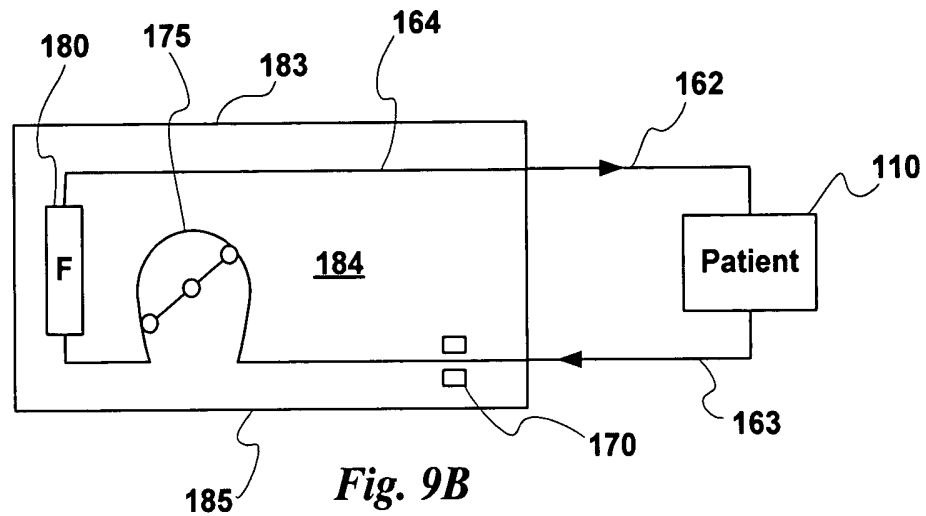
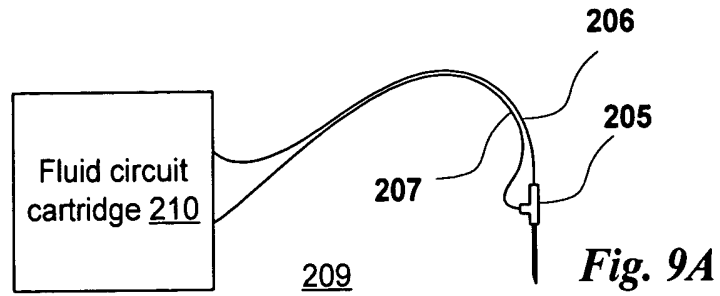
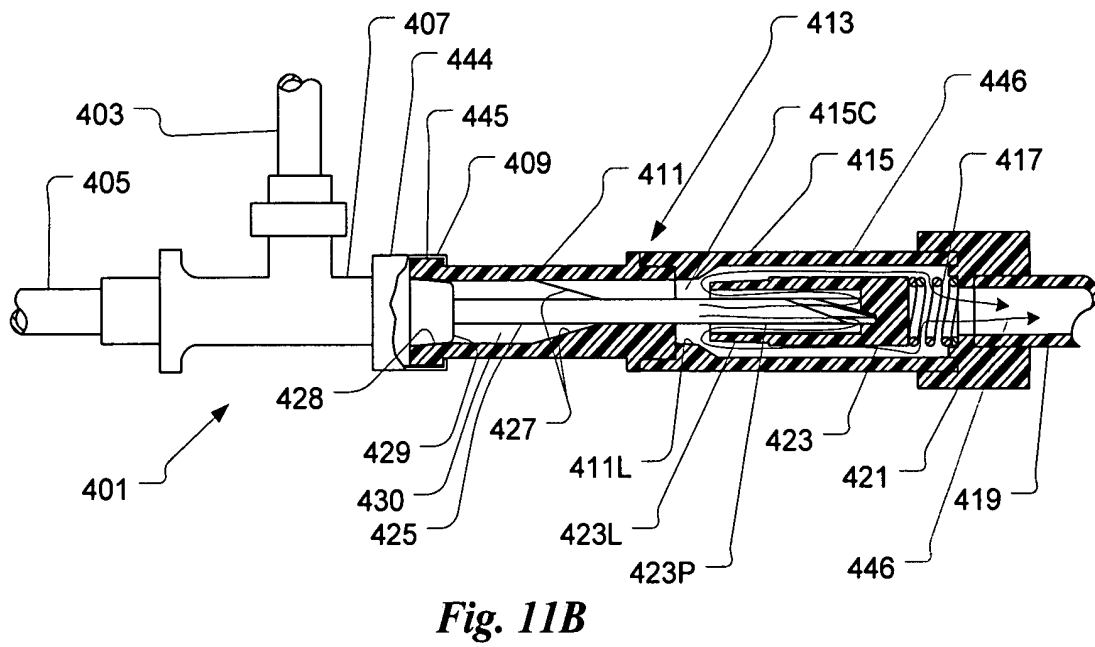
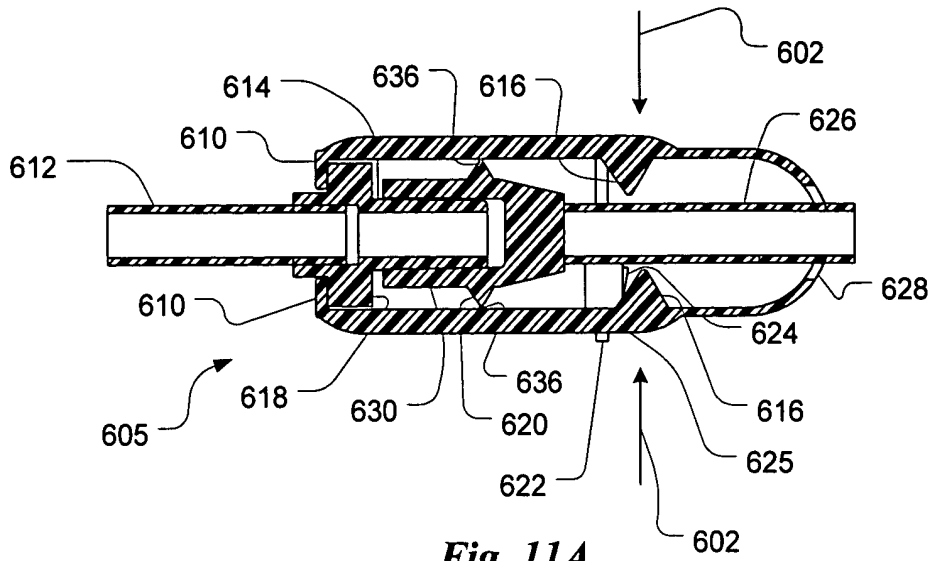
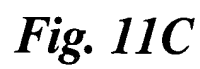


Fig. 8C







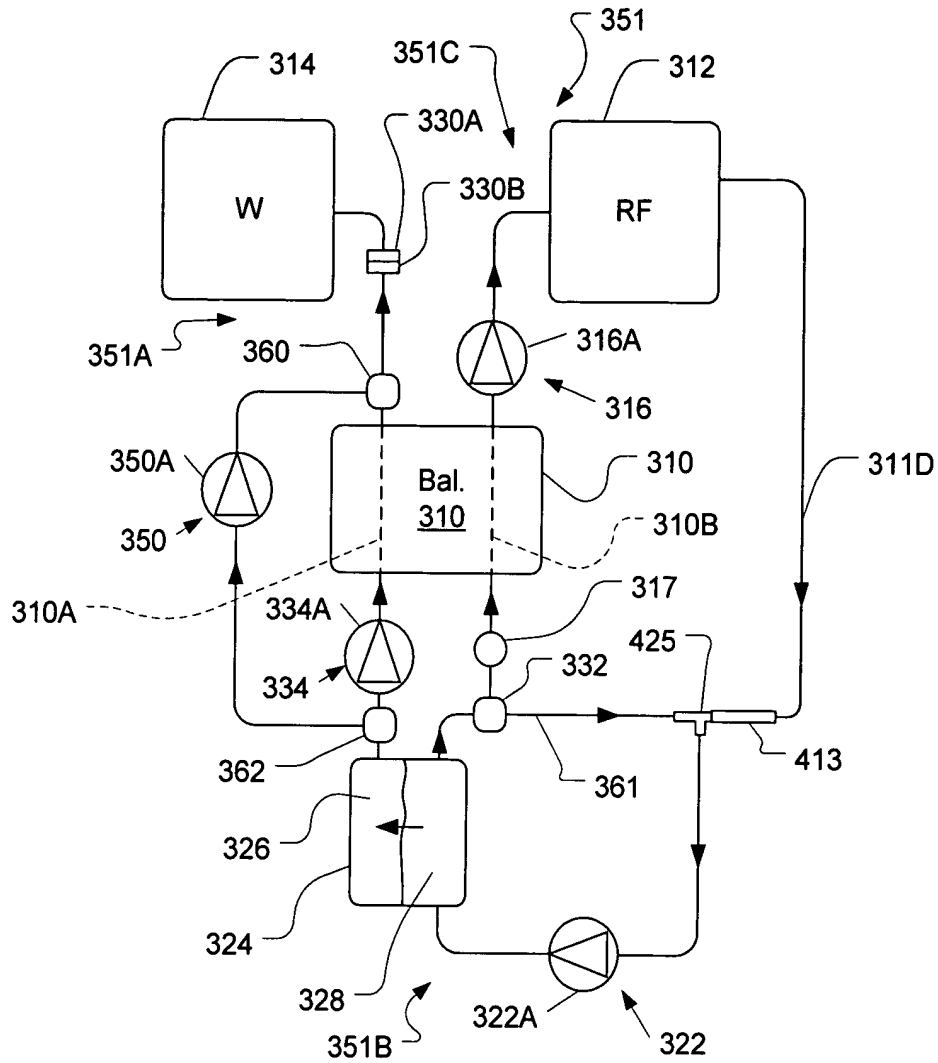


Fig. 11D

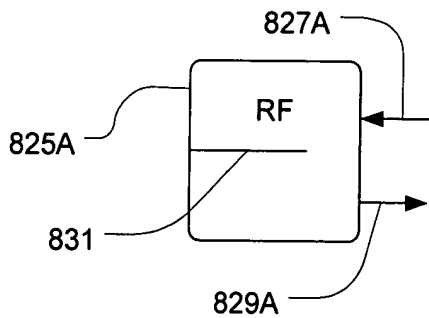


Fig. 11E

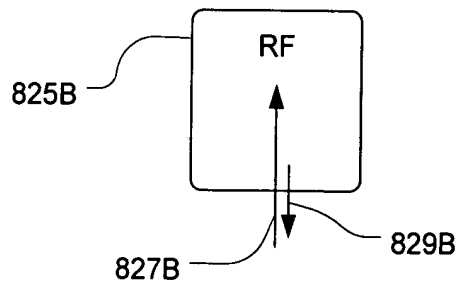
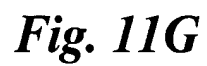
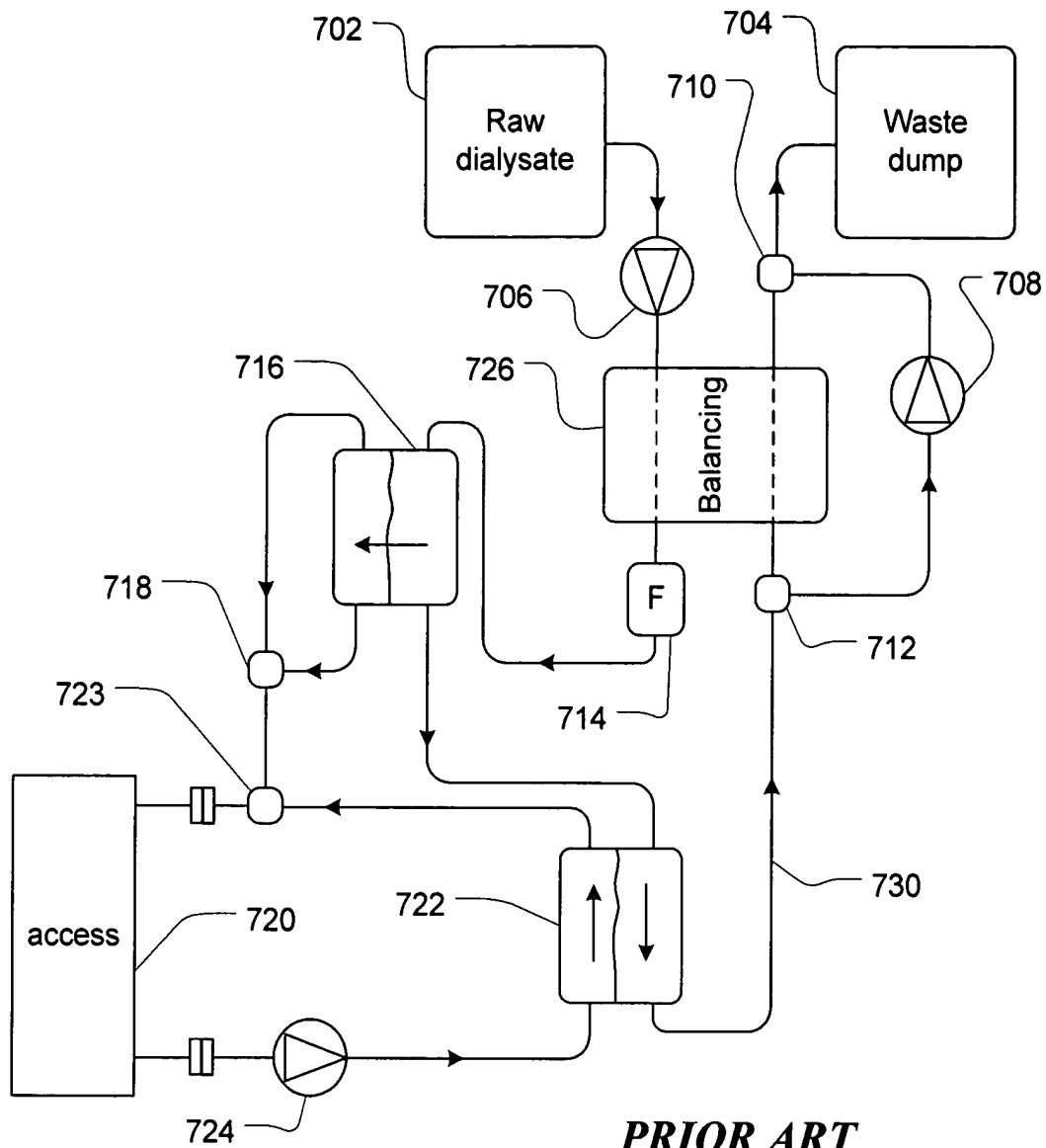


Fig. 11F





PRIOR ART

Fig. 12A

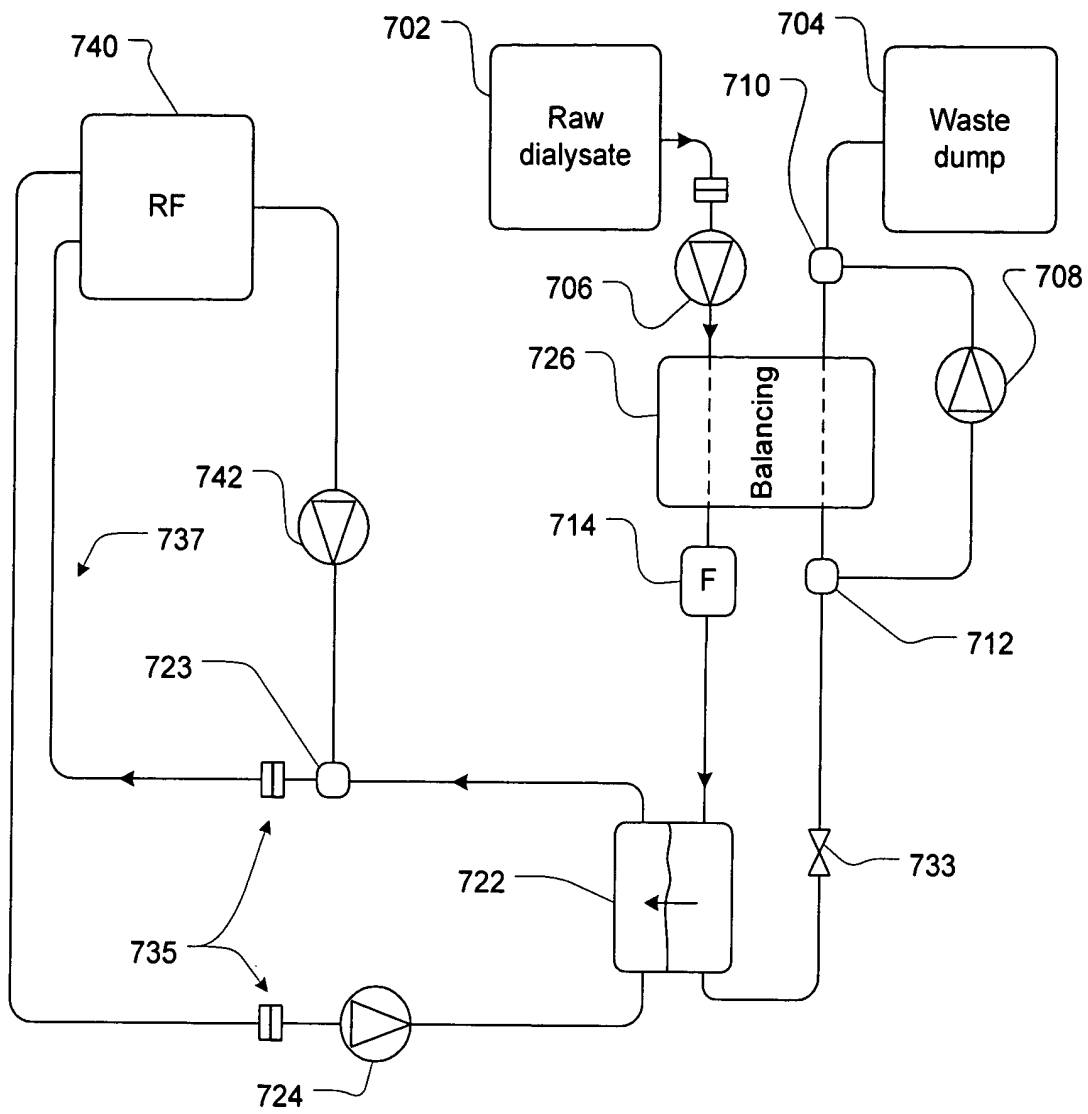


Fig. 12B

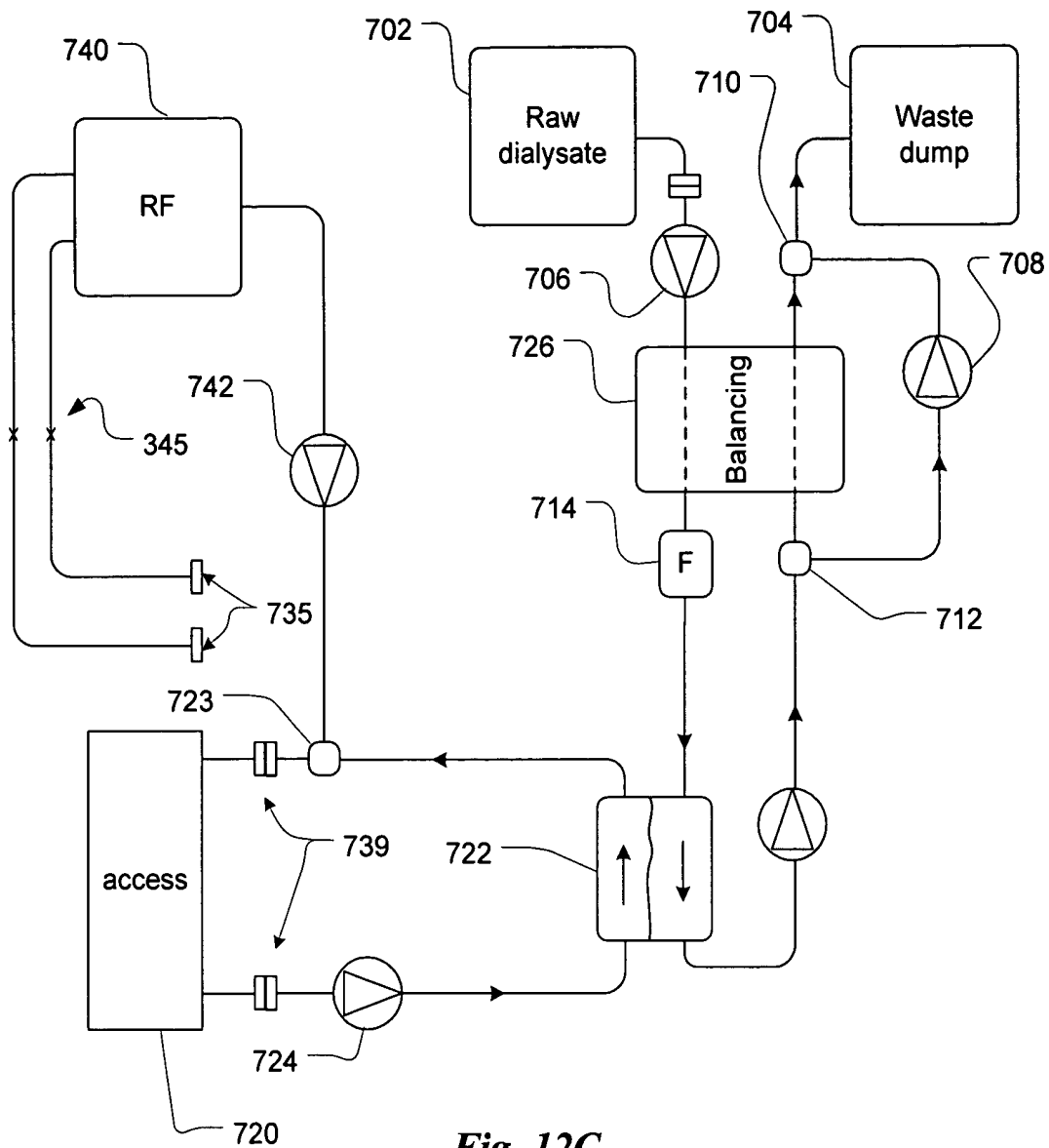
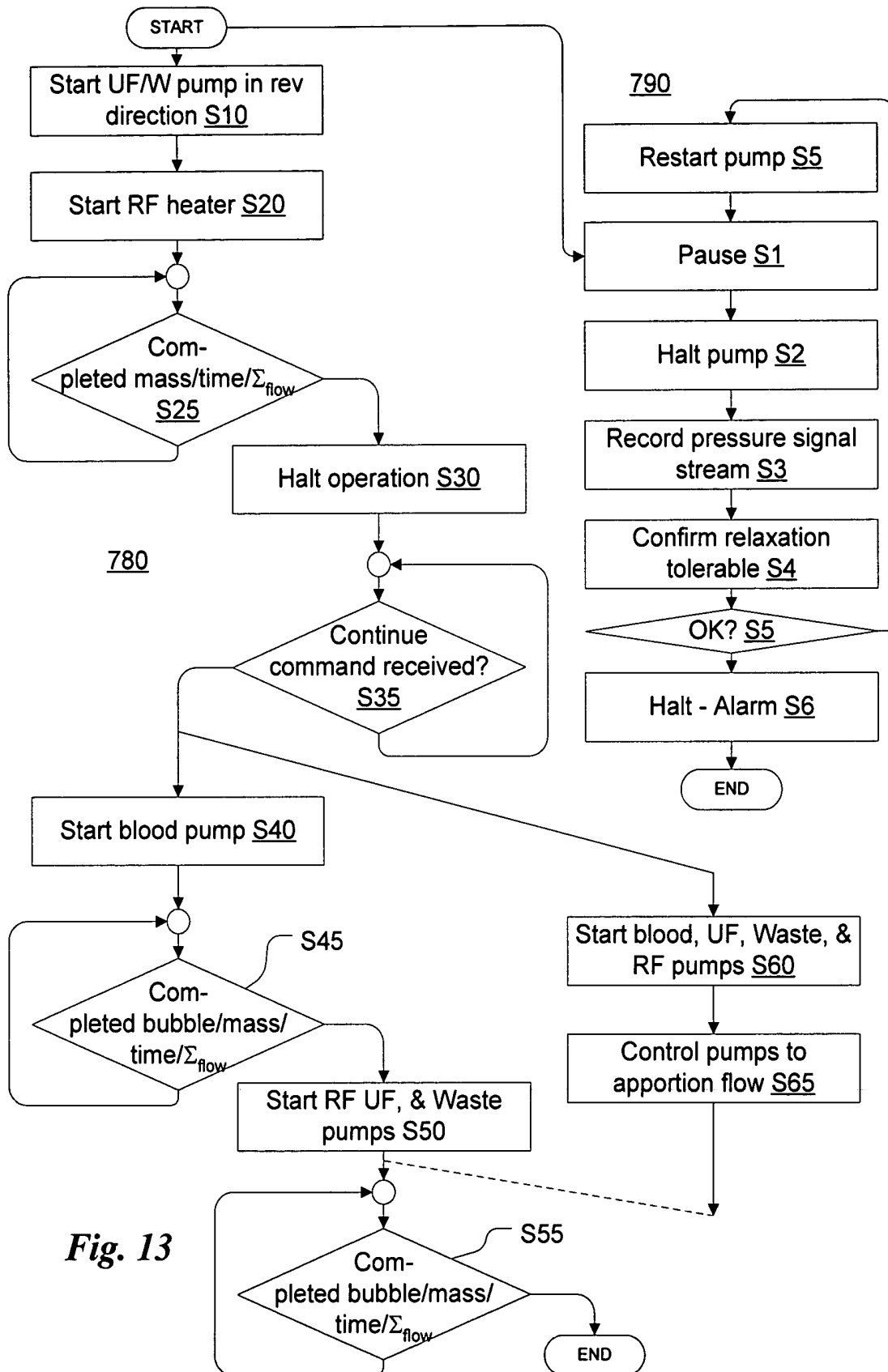


Fig. 12C



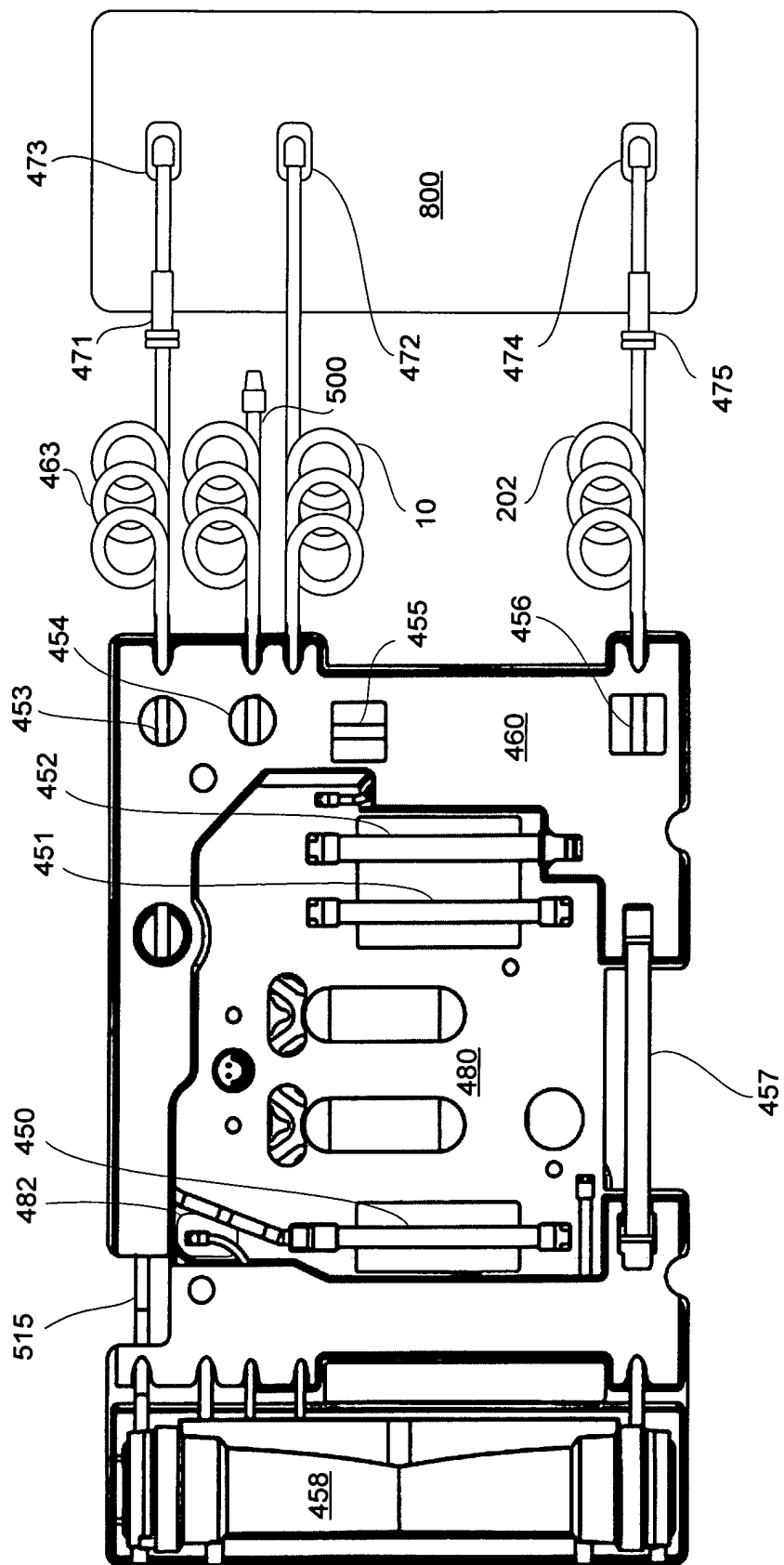


Fig. 14A

